

Math-Net.Ru

Общероссийский математический портал

В. В. Вальков, А. О. Злотников, Сосуществование сверхпроводимости и антиферромагнетизма в тяжелофермионных интерметаллидах, *ТМФ*, 2013, том 174, номер 3, 484–503

DOI: <https://doi.org/10.4213/tmf8378>

Использование Общероссийского математического портала Math-Net.Ru подразумевает, что вы прочитали и согласны с пользовательским соглашением <http://www.mathnet.ru/rus/agreement>

Параметры загрузки:

IP: 84.237.90.20

10 ноября 2020 г., 13:14:42



© 2013 г.

В. В. Вальков*[†], А. О. Злотников*

СОСУЩЕСТВОВАНИЕ СВЕРХПРОВОДИМОСТИ И АНТИФЕРРОМАГНЕТИЗМА В ТЯЖЕЛОФЕРМИОННЫХ ИНТЕРМЕТАЛЛИДАХ

В рамках эффективного гамильтониана для периодической модели Андерсона при использовании двухвременных запаздывающих функций Грина изучены условия реализации фазы сосуществования сверхпроводимости и антиферромагнетизма. Такая фаза экспериментально наблюдается в редкоземельных интерметаллидах с тяжелыми фермионами при приложении внешнего давления. В выбранной модели при наличии дальнего антиферромагнитного упорядочения куперовская неустойчивость индуцируется в результате совместного влияния сверхобменного взаимодействия в подсистеме локализованных электронов и гибридизации между двумя группами электронов. Приложение внешнего давления вызывает увеличение энергии локализованного уровня, сопровождающееся в определенной области фазовой диаграммы резким разрушением дальнего антиферромагнитного упорядочения. В точке разрушения сверхпроводящий параметр порядка обладает максимальным значением. Показано, что уменьшение намагниченности антиферромагнитной подрешетки с ростом давления вызывает значительное увеличение массы фермиевских квазичастиц, а в критической точке происходит изменение знака носителей тока. Полученные результаты на качественном уровне хорошо согласуются с экспериментальными данными для тяжелофермионного интерметаллида CeRhIn_5 .

Ключевые слова: периодическая модель Андерсона, сосуществование сверхпроводимости и антиферромагнетизма, сверхобменное взаимодействие, тяжелые фермионы.

DOI: 10.4213/tmf8378

1. ВВЕДЕНИЕ

Известно, что сильные электронные корреляции в существенной степени определяют свойства слабо легированных оксидов меди [1], [2] и тяжелофермионных (ТФ) интерметаллидов [3]–[6]. В этих материалах реализуется нефононный механизм

*Федеральное государственное бюджетное учреждение науки Институт физики им. Л. В. Киренского СО РАН, Красноярск, Россия.
E-mail: vvv@iph.krasn.ru, zlotn@iph.krasn.ru

[†]Сибирский государственный аэрокосмический университет им. М. Ф. Решетнёва, Красноярск, Россия

сверхпроводящего спаривания [1], [7]–[9], и куперовская неустойчивость развивается либо на фоне разрушенного антиферромагнитного упорядочения при сохранении ближних антиферромагнитных корреляций, либо при наличии дальнего антиферромагнитного порядка, но с существенно уменьшенным значением намагниченности подрешетки.

Реализация микроскопически однородной фазы сосуществования сверхпроводимости (СП) и антиферромагнетизма (АФМ) в сильно коррелированных системах в последнее время стала предметом повышенного внимания. Это произошло благодаря тому, что приложение внешнего давления к ряду ТФ-антиферромагнетиков приводит к индуцированию фазового перехода с формированием отмеченной фазы сосуществования.

Известно, что в проводящих антиферромагнетиках условия реализации куперовской неустойчивости являются более благоприятными, чем в ферромагнитных металлах [10], [11]. Это объясняется отсутствием спонтанной макроскопической намагниченности и сохранением вырожденности спектра фермиевских возбуждений по направлению проекции спинового момента. Примеров соединений, в которых наблюдается фаза сосуществования СП и АФМ, известно немало. Впервые явление одновременной реализации СП и АФМ в ТФ-системах было зафиксировано в трансурановых соединениях UPt_3 [12], UPd_2Al_3 [13]. В этих соединениях два из трех 5f-электронов урана являются локализованными и отвечают за индуцирование антиферромагнитного упорядочения [14]. Третий 5f-электрон участвует в формировании зоны тяжелых фермионов. В ансамбле таких электронов развивается куперовская неустойчивость, приводящая к реализации сверхпроводящей ТФ-фазы.

В отличие от трансурановых материалов в цериевом интерметаллиде $CeRhIn_5$, относящемся к группе $Ce_nT_mIn_{3n+2m}$ (здесь $T = Co, Rh, Pd, Ir, Pt; n = 1, 2; m = 0, 1$), 4f-электрон церия принимает участие в формировании как дальнего антиферромагнитного порядка, так и куперовской неустойчивости. На это косвенно указывает совпадение энтропии при переходе из антиферромагнитной фазы в сверхпроводящую фазу под действием внешнего давления [15]. При этом вблизи такого перехода реализуется область, в которой СП и АФМ сосуществуют на микроскопическом уровне [16]. Фаза сосуществования ограничена диапазоном давлений $P \approx 1 \div 1.8$ ГПа с максимальной критической температурой около 2 К [15].

Сильная взаимосвязь между СП и АФМ была установлена также в оксидах меди [17]. Посредством измерения сдвига Найта методом ядерного магнитного резонанса было продемонстрировано сосуществование высокотемпературной СП и антиферромагнитного порядка в многослойных купратах $HgBa_2Ca_4Cu_5O_{12+\delta}$ [18] и $Ba_2Ca_{n-1}Cu_nO_{2n}(F,O)_2$ ($n = 4, 5$) [19]. Сосуществование фаз в двухслойном меднооксидном сверхпроводнике $YBa_2Cu_3O_{6+x}$ было показано в работе [20].

В связи со сказанным представляется актуальным проведение теоретического анализа, направленного на изучение нефононного механизма куперовской неустойчивости, который приводит к формированию на микроскопическом уровне однородной сверхпроводящей фазы с d -типом симметрии параметра порядка при наличии дальнего антиферромагнитного упорядочения. В качестве сопутствующей цели такого исследования может выступать задача интерпретации аномального поведения эффективной массы в окрестности квантового фазового перехода.

Целесообразно подчеркнуть, что формирование фазы сосуществования СП и АФМ может развиваться по двум сценариям. Согласно первому из них за реализацию СП

и АФМ ответственны две разные группы электронов: СП устанавливается в подсистеме коллективизированных фермионов, тогда как дальний антиферромагнитный порядок реализуется благодаря наличию локализованных электронов. Этот сценарий имеет место в тройных редкоземельных [21] и в урановых ТФ-соединениях.

Второй сценарий образования фазы сосуществования проявляется в цериевых интерметаллидах. В них за формирование обоих типов упорядочения ответственны одни и те же 4f-электроны (как, например, в CeRhIn_5). В этом случае эффекты взаимного влияния СП и АФМ играют более существенную роль и являются предметом многих теоретических исследований. В работе [22] фаза сосуществования СП и АФМ исследовалась на основе среднеполюсового слейв-бозонного приближения в рамках периодической модели Андерсона (ПМА), которая дополнялась квадратичными по фермиевским операторам слагаемыми, описывающими как куперовскую неустойчивость, так и неустойчивость по отношению к антиферромагнитному состоянию. Следует отметить, что такой подход оставлял открытым вопрос о виде электронного взаимодействия в ТФ-системах, приводящего к смешанному состоянию, в котором одновременно реализуются сверхпроводящие и антиферромагнитные свойства. В работе [22] область сосуществования СП и АФМ была получена путем увеличения величины гибридационного параметра и ширины зоны электронов. Увеличение этих параметров связывалось с ростом внешнего гидростатического давления. Более простое рассмотрение СП и АФМ в системах с тяжелыми фермионами было реализовано в работе [23]. Исследовался ансамбль коллективизированных электронов, которые взаимодействуют между собой посредством одноузельного кулоновского отталкивания и эффективного взаимодействия, приводящего к притяжению. Для получения тяжелой эффективной массы электронов были введены дополнительные ограничения на модель. Полагалось, что уровень Ферми лежит в окрестности седловой точки (точки X двумерной зоны Бриллюэна) и вводилось дополнительное предположение о наличии логарифмической особенности ван Хова вблизи химического потенциала.

В настоящей работе на основе последовательного применения к расширенной модели Андерсона метода двухвременных температурных функций в атомном представлении проанализированы условия, при которых становится возможным сосуществование СП и АФМ в сильно коррелированных системах с тяжелыми фермионами. В рамках такого подхода нет необходимости использовать переход к слейв-бозонам и вводить приближенное описание для учета констрейна. При этом удастся получить замкнутую самосогласованную систему уравнений, описывающую как все необходимые фазы, включая фазу сосуществования, так и аномальное поведение эффективной массы фермиевских квазичастиц в окрестности квантового фазового перехода.

2. ГАМИЛЬТониан ЭЛЕКТРОННОЙ СТРУКТУРЫ ТЯЖЕЛОФЕРМИОННЫХ ИНТЕРМЕТАЛЛИДОВ

Описание свойств редкоземельных интерметаллидов с тяжелыми фермионами обычно проводится в рамках ПМА [24]–[26]. В режиме сильных электронных корреляций, когда параметр U кулоновского отталкивания двух локализованных электронов с противоположными проекциями спинового момента, находящихся на одном узле, существенно превышает все другие характерные энергии, локализованное состояние характеризуется однократным электронным заполнением. В этом случае

естественным описанием является атомное представление, в явной форме учитывающее эту особенность [27]. При этом учет процессов, отражающих виртуальные переходы локализованных состояний в двухэлектронный сектор гильбертова пространства, приводит к эффективному гамильтониану, содержащему ряд дополнительных слагаемых [28]. Так, например, возникают существенные для дальнейшего слагаемые, которые описывают обменное взаимодействие в подсистеме локализованных электронов. Актуальность учета этого взаимодействия обусловлена прежде всего тем, что оно способно индуцировать как антиферромагнитное упорядочение, так и куперовскую неустойчивость. Например, в работе [29] было показано, что обменное взаимодействие в ансамбле коллективизированных электронов может привести к реализации смешанной фазы.

В представлении Ванье эффективный гамильтониан ПМА может быть записан в виде

$$\widehat{\mathcal{H}}_{\text{eff}} = \sum_{m,\sigma} (\varepsilon_0 - \mu) c_{m\sigma}^\dagger c_{m\sigma} + \sum_{m,l,\sigma} t_{ml} c_{m\sigma}^\dagger c_{l\sigma} + \sum_{m,\sigma} (E_0 - \mu) X_m^{\sigma\sigma} + \\ + \sum_{m,l,\sigma} \{ (V_{ml} c_{m\sigma}^\dagger X_l^{0\sigma}) + (\text{э.с.}) \} + \frac{1}{2} \sum_{m \neq l} J_{ml} \left(\vec{S}_m \vec{S}_l - \frac{1}{4} \widehat{N}_m \widehat{N}_l \right),$$

где $c_{m\sigma}$ ($c_{m\sigma}^\dagger$) – фермиевский оператор уничтожения (рождения) коллективизированного электрона для ячейки Ванье с номером m и проекцией спинового момента σ , X_m^{rt} – оператор Хаббарда, относящийся к ячейке m , который строится с помощью атомных состояний $|m; r\rangle$ и $|m; t\rangle$ обычным образом: $X_m^{rt} = |m; r\rangle \langle t; m|$; \vec{S}_m – квазиспиновый векторный оператор локализованной подсистемы, компоненты которого связаны с операторами атомного представления формулами

$$S_m^x = \frac{X_m^{\uparrow\downarrow} + X_m^{\downarrow\uparrow}}{2}, \quad S_m^y = -i \frac{X_m^{\uparrow\downarrow} - X_m^{\downarrow\uparrow}}{2}, \quad S_m^z = \frac{X_m^{\uparrow\uparrow} - X_m^{\downarrow\downarrow}}{2}.$$

Оператор числа локализованных электронов на узле m определяется формулой $\widehat{N}_m = \sum_{\sigma} X_m^{\sigma\sigma}$. Параметрами модели являются ε_0 – одноузельная энергия коллективизированного электрона, μ – химический потенциал, t_{ml} – матричный элемент перескоков коллективизированных электронов с узла l на узел m , а также E_0 – положение энергетического уровня локализованных электронов, V_{ml} – матричный элемент, который описывает гибридизацию локализованного и коллективизированного состояний, относящихся к одной ячейке Ванье ($m = l$) или к разным ячейкам ($m \neq l$), и J_{ml} – интеграл обменного взаимодействия.

Предполагая возможность антиферромагнитного упорядочения, перейдем к двухподрешеточному описанию. С этой целью, как обычно, выделим два типа узлов решетки. К первому типу (подрешетке F) отнесем узлы, нумеруемые в дальнейшем индексами f, f', f'', \dots , для которых при наличии дальнего антиферромагнитного порядка $\langle S_f^z \rangle > 0$. Узлы второго типа (подрешетка G) будут нумероваться индексами g, g', g'', \dots ; для узлов этой подрешетки $\langle S_g^z \rangle < 0$.

В двухподрешеточном представлении гамильтониан удобно записать как

$$\widehat{\mathcal{H}}_{\text{eff}} = \widehat{\mathcal{H}}_0 + \widehat{\mathcal{H}}_{\text{mix}} + \widehat{\mathcal{H}}_{\text{exch}},$$

где $\widehat{\mathcal{H}}_0$ описывает систему невзаимодействующих локализованных и коллективизированных электронов; с помощью $\widehat{\mathcal{H}}_{\text{mix}}$ учитываются гибридизационные процессы

между локализованными и коллективизированными состояниями как в пределах одной подрешетки, так и из разных подрешеток; слагаемое $\widehat{\mathcal{H}}_{\text{exch}}$ отвечает за сверхобменное взаимодействие в локализованной подсистеме. Конкретный вид этих операторов определяется выражениями

$$\begin{aligned}\widehat{\mathcal{H}}_0 &= \sum_{f,\sigma} (\varepsilon_0 - \mu) a_{f\sigma}^\dagger a_{f\sigma} + \sum_{g,\sigma} (\varepsilon_0 - \mu) b_{g\sigma}^\dagger b_{g\sigma} + \sum_{f,\sigma} (E_0 - \mu) X_f^{\sigma\sigma} + \\ &+ \sum_{g,\sigma} (E_0 - \mu) Y_g^{\sigma\sigma} + \sum_{f,f',\sigma} t_{ff'} a_{f\sigma}^\dagger a_{f'\sigma} + \sum_{g,g',\sigma} t_{gg'} b_{g\sigma}^\dagger b_{g'\sigma} + \\ &+ \sum_{f,g,\sigma} (t_{fg} a_{f\sigma}^\dagger b_{g\sigma} + t_{gf} b_{g\sigma}^\dagger a_{f\sigma}), \\ \widehat{\mathcal{H}}_{\text{mix}} &= \sum_{f,f',\sigma} \{(V_{ff'} a_{f\sigma}^\dagger X_{f'}^{0\sigma}) + (\text{э.с.})\} + \sum_{g,g',\sigma} \{(V_{gg'} b_{g\sigma}^\dagger Y_{g'}^{0\sigma}) + (\text{э.с.})\} + \\ &+ \sum_{f,g,\sigma} \{(W_{fg} a_{f\sigma}^\dagger Y_g^{0\sigma} + W_{gf} b_{g\sigma}^\dagger X_f^{0\sigma}) + (\text{э.с.})\}, \\ \widehat{\mathcal{H}}_{\text{exch}} &= \frac{1}{2} \sum_{(fg),\sigma} J_{fg} (X_f^{\sigma\bar{\sigma}} Y_g^{\bar{\sigma}\sigma} - X_f^{\sigma\sigma} Y_g^{\bar{\sigma}\bar{\sigma}}).\end{aligned}$$

Для оператора $\widehat{\mathcal{H}}_{\text{exch}}$ предполагается, что обменное взаимодействие в подсистеме квазилокализованных состояний реализуется только между ближайшими соседями. Это отражено в выражении для $\widehat{\mathcal{H}}_{\text{exch}}$ посредством заключения индексов узлов f и g у знака суммы в угловые скобки. В двухподрешеточном описании параметр W_{fg} обозначает интеграл гибридизации коллективизированных и квазилокализованных состояний, относящихся к разным подрешеткам. Для интенсивности гибридизационных процессов внутри одной подрешетки оставлены прежние обозначения $V_{ff'}$, $V_{gg'}$.

3. ОПИСАНИЕ ФАЗЫ СОСУЩЕСТВОВАНИЯ СП И АФМ С ПОМОЩЬЮ БАЗИСНЫХ ОПЕРАТОРОВ

Для получения замкнутой системы уравнений самосогласования, описывающей сверхпроводящую фазу, антиферромагнитную фазу, а также фазу сосуществования СП и АФМ, воспользуемся методом уравнений движения для двухвременных запаздывающих функций Грина [30], [31]. Замыкание цепочки уравнений движения будем осуществлять на основе метода неприводимых функций Грина [32], [33], применяя технику проецирования Цванцига–Мори [34], [35]. С этой целью введем базисный набор операторов

$$\{X_f^{0\sigma}, Y_g^{0\sigma}, a_{f\sigma}, b_{g\sigma}, X_f^{\bar{\sigma}0}, Y_g^{\bar{\sigma}0}, a_{f\bar{\sigma}}^\dagger, b_{g\bar{\sigma}}^\dagger\} \quad (1)$$

и составим точные уравнения движения для первой половины этого набора (уравнения движения для второй половины получаются из представленных ниже уравнений путем эрмитова сопряжения и замены $\sigma \rightarrow \bar{\sigma} = -\sigma$):

$$\begin{aligned}i \frac{dX_f^{0\sigma}}{dt} &= (E_0 - \mu) X_f^{0\sigma} + \sum_{f'} V_{f'f}^* [(X_f^{00} + X_f^{\sigma\sigma}) a_{f'\sigma} + X_f^{\bar{\sigma}\sigma} a_{f'\bar{\sigma}}] + \\ &+ \sum_g W_{gf}^* [(X_f^{00} + X_f^{\sigma\sigma}) b_{g\sigma} + X_f^{\bar{\sigma}\sigma} b_{g\bar{\sigma}}] + \frac{1}{2} \sum_g J_{fg} (X_f^{0\bar{\sigma}} Y_g^{\bar{\sigma}\sigma} - X_f^{0\sigma} Y_g^{\bar{\sigma}\bar{\sigma}}),\end{aligned}$$

$$\begin{aligned}
i \frac{dY_g^{0\sigma}}{dt} &= (E_0 - \mu)Y_g^{0\sigma} + \sum_{g'} V_{g'g}^* [(Y_g^{00} + Y_g^{\sigma\sigma}) b_{g'\sigma} + Y_g^{\bar{\sigma}\sigma} b_{g'\bar{\sigma}}] + \\
&\quad + \sum_f W_{fg}^* [(Y_g^{00} + Y_g^{\sigma\sigma}) a_{f\sigma} + Y_g^{\bar{\sigma}\sigma} a_{f\bar{\sigma}}] + \frac{1}{2} \sum_f J_{fg} (X_f^{\bar{\sigma}\sigma} Y_g^{0\bar{\sigma}} - X_f^{\sigma\bar{\sigma}} Y_g^{0\sigma}), \\
i \frac{da_{f\sigma}}{dt} &= (\varepsilon_0 - \mu) a_{f\sigma} + \sum_{f'} (t_{ff'} a_{f'\sigma} + V_{ff'} X_{f'}^{0\sigma}) + \sum_g (t_{fg} b_{g\sigma} + W_{fg} Y_g^{0\sigma}), \\
i \frac{db_{g\sigma}}{dt} &= (\varepsilon_0 - \mu) b_{g\sigma} + \sum_{g'} (t_{gg'} b_{g'\sigma} + V_{gg'} Y_{g'}^{0\sigma}) + \sum_f (t_{gf} a_{f\sigma} + W_{gf} X_f^{0\sigma}),
\end{aligned}$$

где индекс * означает комплексное сопряжение.

Проецирование правых частей этих уравнений на базис (1) и переход в квазиимпульсное представление позволяют получить замкнутую систему восьми уравнений для нормальных и аномальных функций Грина. В матричной форме эта система записывается следующим образом:

$$\begin{pmatrix} \widehat{M}_{p\sigma}(\omega) & \widehat{G}_{p\sigma} \\ -\widehat{G}_{-p\bar{\sigma}}^* & -\widehat{M}_{-p\bar{\sigma}}(-\omega) \end{pmatrix} \langle\langle \vec{A} | B^\dagger \rangle\rangle_\omega = \langle\{ \vec{A}, B^\dagger \}_+\rangle. \quad (2)$$

Входящий в векторную функцию Грина оператор \vec{A} определяется через фурье-образы базисных операторов (1):

$$\vec{A} = (X_{p\sigma}, Y_{p\sigma}, a_{p\sigma}, b_{p\sigma}, X_{-p\bar{\sigma}}^\dagger, Y_{-p\bar{\sigma}}^\dagger, a_{-p\bar{\sigma}}^\dagger, b_{-p\bar{\sigma}}^\dagger). \quad (3)$$

Оператор B выбирается произвольно из набора (3). Как обычно в методе двухвременных функций Грина, при учете только квазифермиевских возбуждений свободные члены каждого уравнения определяются термодинамическим средним $\langle \cdot \rangle$ от антикоммутирующей компоненты вектора \vec{A} и оператора B . При записи уравнений (2) предполагалось, что $\langle AB^\dagger \rangle^* = \langle BA^\dagger \rangle$.

В дальнейшем существенную роль будут играть средние от антикоммутирующих операторов Хаббарда в квазиимпульсном представлении:

$$\langle\{ X_{p\sigma}, X_{p\sigma}^\dagger \}_+\rangle = \langle\{ Y_{p\bar{\sigma}}, Y_{p\bar{\sigma}}^\dagger \}_+\rangle = \alpha_\sigma, \quad \alpha_\sigma = 1 - \frac{n_L}{2} + \eta_\sigma R.$$

Здесь величина намагниченности подрешетки F обозначена через $R = \langle S_f^z \rangle$, а среднее число электронов на локализованном уровне $\langle N_f \rangle = \langle N_g \rangle = n_L$. Зависящая от σ функция η_σ определяется обычным образом: $\eta_\sigma = \pm 1$, если $\sigma = \pm 1/2$ соответственно. Введенные в (2) матрицы четвертого порядка задаются выражениями

$$\begin{aligned}
\widehat{M}_{p\sigma}(\omega) &= \begin{pmatrix} \omega - E_\sigma & L_p/\alpha_{\bar{\sigma}} & -\alpha_\sigma V_p^* & -\alpha_\sigma W_p^* \\ L_p/\alpha_\sigma & \omega - E_{\bar{\sigma}} & -\alpha_{\bar{\sigma}} W_p^* & -\alpha_{\bar{\sigma}} V_p^* \\ -V_p & -W_p & \omega - \xi_p & -\Gamma_p \\ -W_p & -V_p & -\Gamma_p & \omega - \xi_p \end{pmatrix}, \\
\widehat{G}_{p\sigma} &= - \begin{pmatrix} \eta_\sigma \Phi/\alpha_{\bar{\sigma}} & \eta_\sigma \Delta_p/\alpha_\sigma & 0 & 0 \\ \eta_\sigma \Delta_{-p}/\alpha_{\bar{\sigma}} & \eta_\sigma \Phi/\alpha_\sigma & 0 & 0 \\ 0 & 0 & 0 & 0 \\ 0 & 0 & 0 & 0 \end{pmatrix}.
\end{aligned}$$

В этих формулах ренормированное выражение для энергии локализованного уровня,

$$E_\sigma = E_0 - \mu - J(n_L + 2\eta_\sigma R) - \Lambda_\sigma + C_\sigma, \quad (4)$$

описывает среднеполевое влияние обменного взаимодействия, приводящего как к смещению уровня (вклад, пропорциональный $-Jn_L$), так и к снятию вырождения этого уровня по проекции спинового момента (вклад, пропорциональный $-2\eta_\sigma JR$). Третье слагаемое

$$\Lambda_\sigma = \frac{1}{\alpha_\sigma} \cdot \frac{1}{N} \sum_k \{V_k^* \langle X_{k\bar{\sigma}}^\dagger a_{k\bar{\sigma}} \rangle + W_k^* \langle X_{k\bar{\sigma}}^\dagger b_{k\bar{\sigma}} \rangle\}$$

возникает из-за совместного влияния кинематического и гибридизационного взаимодействий. Кинематическое взаимодействие является следствием нефермиевского характера перестановочных соотношений для операторов Хаббарда [36], [37], описывающих подсистему f-электронов. Последнее слагаемое в ренормированном выражении для энергии (4),

$$C_\sigma = \frac{1}{\alpha_\sigma} \cdot \frac{1}{2N} \sum_k J_k C_{k\sigma}, \quad (5)$$

связано с учетом статических магнитных флуктуаций и флуктуаций величины заполнения f-уровня. Эти флуктуации посредством механизма обменной связи приводят к сдвигу локализованного уровня, зависящему от проекции спинового момента. Входящая в выражение (5) величина $C_{k\sigma}$ является фурье-образом пространственного коррелятора

$$C_{fg}^\sigma = \langle X_f^{\sigma\bar{\sigma}} Y_g^{\bar{\sigma}\sigma} \rangle + \frac{1}{4} \langle \hat{N}_f \hat{N}_g \rangle + \langle S_f^z S_g^z \rangle - \left(\frac{1}{4} n_L^2 - R^2 \right) \quad (6)$$

и задается равенством

$$C_{fg}^\sigma = \frac{1}{N} \sum_k e^{ik(f-g)} C_{k\sigma}.$$

В формуле (6) мы учли, что $\langle X_f^{\uparrow\uparrow} Y_g^{\uparrow\uparrow} \rangle = \langle X_f^{\downarrow\downarrow} Y_g^{\downarrow\downarrow} \rangle$.

Совместное влияние кинематического и обменного взаимодействий в подсистеме локализованных фермионов приводит к возникновению эффективной связи между локализованными состояниями из разных подрешеток (в исходном гамильтониане соответствующие слагаемые отсутствовали). Интенсивность такого перемешивания определяется функцией L_p , которая выражается через кинетические корреляторы:

$$L_p = \frac{1}{2N} \sum_k J_{p-k} \langle Y_{k\uparrow}^\dagger X_{k\uparrow} \rangle.$$

Как известно, возникновение сверхпроводящего состояния на математическом языке описывается путем введения аномальных средних от фермиевских и квази-фермиевских операторов. Присутствие в расширенной модели Андерсона гибридизационного, обменного и кинематического взаимодействий приводит к возможности

реализации двух типов аномальных средних. Соответственно в теории возникают два сверхпроводящих параметра порядка (СПП). Первый из них,

$$\Phi = \frac{1}{N} \sum_{k,\sigma} \eta_\sigma (V_k^* \langle a_{k\sigma} X_{-k\bar{\sigma}} \rangle + W_k^* \langle b_{k\sigma} X_{-k\bar{\sigma}} \rangle),$$

связан с аномальными спариваниями коллективизированных и локализованных фермионов, которые индуцированы совместным влиянием гибридизационного и кинематического взаимодействий. Второй СПП является результатом куперовского спаривания квазилокализованных фермионов из разных подрешеток и обуславливается динамической частью обменного взаимодействия:

$$\Delta_p = \frac{1}{2N} \sum_k J_{p-k} (\langle X_{k\uparrow} Y_{-k\downarrow} \rangle + \langle Y_{-k\uparrow} X_{k\downarrow} \rangle). \quad (7)$$

Величина $\xi_p = \varepsilon_0 + t_p - \mu$ соответствует отсчитанной от химического потенциала μ той части кинетической энергии коллективизированных электронов, которая связана с внутриподрешеточными перескоками. Функции t_p , Γ_p , V_p и W_p определяются через фурье-преобразования внутриподрешеточных и межподрешеточных параметров перескоков и гибридизации:

$$\begin{aligned} t_{ff'} &= \frac{1}{N} \sum_k e^{ik(f-f')} t_k, & t_{fg} &= \frac{1}{N} \sum_k e^{ik(f-g)} \Gamma_k, \\ V_{ff'} &= \frac{1}{N} \sum_k e^{ik(f-f')} V_k, & W_{fg} &= \frac{1}{N} \sum_k e^{ik(f-g)} W_k. \end{aligned}$$

При проецировании уравнений движения на базисный набор операторов (1) мы учли очевидную связь аномальных средних $\langle X_f^{0\sigma} a_{f'\bar{\sigma}} \rangle$, $\langle X_f^{0\sigma} b_{g\bar{\sigma}} \rangle$ с аномальными средними $\langle Y_g^{0\sigma} b_{g'\bar{\sigma}} \rangle$, $\langle Y_g^{0\sigma} a_{f\bar{\sigma}} \rangle$. Соответствующие формулы получаются на основе простых соображений симметрии. Применив операцию трансляции, переводящую узлы подрешетки F в узлы подрешетки G , и инверсию оси квантования z , получим, что $\langle Y_g^{0\sigma} b_{g'\bar{\sigma}} \rangle = -\langle X_f^{0\bar{\sigma}} a_{f'\sigma} \rangle$, $\langle Y_g^{0\sigma} a_{f\bar{\sigma}} \rangle = -\langle X_f^{0\bar{\sigma}} b_{g\sigma} \rangle$. При этом был использован закон преобразования для спиновых величин при повороте вокруг оси x :

$$\begin{aligned} c_{l\sigma} &\rightarrow c_{l\sigma}(\theta) = e^{i\theta s_l^x} c_{l\sigma} e^{-i\theta s_l^x} = c_{l\sigma} \cos \frac{\theta}{2} - i c_{l\bar{\sigma}} \sin \frac{\theta}{2}, \\ X_l^{0\sigma} &\rightarrow X_l^{0\sigma}(\theta) = e^{i\theta S_l^x} X_l^{0\sigma} e^{-i\theta S_l^x} = X_l^{0\sigma} \cos \frac{\theta}{2} - i X_l^{0\bar{\sigma}} \sin \frac{\theta}{2}. \end{aligned}$$

4. НЕПРИВОДИМЫЕ ФУНКЦИИ ГРИНА И УРАВНЕНИЯ САМОСОГЛАСОВАНИЯ

При исследовании сосуществования СП и АФМ важное значение имеет тип симметрии СПП. В настоящее время для систем с тяжелыми фермионами этот вопрос остается открытым. Фурье-образы обменного интеграла $J_{p\pm k}$, входящие в определение (7), могут приводить к квазиимпульсной зависимости СПП Δ_p , соответствующей тому или иному типу симметрии СПП. Для магнитной зоны Бриллюэна, преобразованной посредством поворота на угол $\pi/4$ относительно исходной зоны Бриллюэна, зависимость СПП, отвечающая s -типу симметрии, принимает вид

$\Delta_p^s = 2\Delta_0^s \cos(p_x b/2) \cos(p_y b/2)$. Уменьшение зоны Бриллюэна связано с переходом к новой элементарной ячейке с параметром $b = \sqrt{2}a$ решетки с двумя антиферромагнитными подрешетками. В преобразованной системе координат зависимость СПИ для d -типа симметрии представляется в виде $\Delta_p^d = 2\Delta_0^d \sin(p_x b/2) \sin(p_y b/2)$. Отметим, что для соединения CeRhIn_5 более предпочтительным считается d -тип симметрии СПИ [38], поэтому ниже ограничимся исследованием взаимного влияния СП и АФМ с этим типом симметрии параметра порядка.

Выбор данного типа симметрии СПИ приводит к упрощению уравнений самосогласования, поскольку аномальный параметр порядка Φ дает вклад только для s -типа симметрии. Поэтому в дальнейшем считается, что $\Phi = 0$.

При записи решения уравнений (2) для функции Грина в фазе сосуществования СП и АФМ воспользуемся обозначениями

$$d_{3\sigma}(p, \omega) = (\omega + E_\sigma)((\omega + \xi_p)^2 - \Gamma_p^2) - \alpha_\sigma(\omega + \xi_p)(V_p^2 + W_p^2) + 2\alpha_\sigma \Gamma_p V_p W_p, \quad (8)$$

$$f_3(p, \omega) = \frac{L_p}{\alpha_\sigma \alpha_{\bar{\sigma}}} ((\omega + \xi_p)^2 - \Gamma_p^2) + 2(\omega + \xi_p)V_p W_p - \Gamma_p(V_p^2 + W_p^2), \quad (9)$$

$$d_4(p, \omega) = (\omega + E_{\bar{\sigma}})d_{3\sigma}(p, \omega) + (\omega + E_\sigma)d_{3\bar{\sigma}}(p, \omega) + \alpha_\sigma \alpha_{\bar{\sigma}}(V_p^2 - W_p^2)^2 - \left((\omega + E_\sigma)(\omega + E_{\bar{\sigma}}) - \frac{L_p^2}{\alpha_\sigma \alpha_{\bar{\sigma}}} \right) ((\omega + \xi_p)^2 - \Gamma_p^2) - 2L_p f_3(p, \omega). \quad (10)$$

Уравнение $d_4(p, -\omega) = 0$ определяет энергетический спектр системы в нормальной антиферромагнитной фазе, когда не учитываются аномальные средние.

Выражения для нормальных функций Грина записываются в виде

$$\langle\langle X_{p\sigma} | X_{p\sigma}^\dagger \rangle\rangle_\omega = -\frac{\alpha_\sigma S_{p\sigma}(\omega)}{D_8(p, \omega)}, \quad \langle\langle a_{p\sigma} | a_{p\sigma}^\dagger \rangle\rangle_\omega = \frac{C_{p\sigma}(\omega)}{D_8(p, \omega)}, \quad (11)$$

где

$$\begin{aligned} S_{p\sigma}(\omega) &= d_{3\bar{\sigma}}(p, -\omega)d_4(p, \omega) + \left(\frac{\Delta_p}{\alpha_{\bar{\sigma}}}\right)^2 ((\omega - \xi_p)^2 - \Gamma_p^2)d_{3\sigma}(p, \omega), \\ C_{p\sigma}(\omega) &= \left((\omega - E_\sigma)(\omega - E_{\bar{\sigma}}) - \frac{L_p^2}{\alpha_\sigma \alpha_{\bar{\sigma}}} \right) (\omega - \xi_p)d_4(p, \omega) - \\ &\quad - (\alpha_{\bar{\sigma}}V_p^2(\omega - E_\sigma) + \alpha_\sigma W_p^2(\omega - E_{\bar{\sigma}}) - 2L_p V_p W_p) d_4(p, \omega) - \\ &\quad - \left(\frac{\Delta_p}{\alpha_{\bar{\sigma}}}\right)^2 ((\omega - E_\sigma)(\omega - \xi_p) - \alpha_\sigma W_p^2) d_{3\sigma}(p, \omega) - \\ &\quad - \left(\frac{\Delta_p}{\alpha_\sigma}\right)^2 ((\omega - E_{\bar{\sigma}})(\omega - \xi_p) - \alpha_{\bar{\sigma}}V_p^2) d_{3\bar{\sigma}}(p, \omega) - \\ &\quad - 2\Delta_p^2 \left(V_p W_p - \frac{L_p}{\alpha_\sigma \alpha_{\bar{\sigma}}}(\omega - \xi_p) \right) f_3(p, \omega) + \frac{\Delta_p^4(\omega - \xi_p)}{(\alpha_\sigma \alpha_{\bar{\sigma}})^2} ((\omega + \xi_p)^2 - \Gamma_p^2). \end{aligned}$$

В силу эквивалентности антиферромагнитных подрешеток имеют место равенства функций Грина $\langle\langle X_{p\sigma} | X_{p\sigma}^\dagger \rangle\rangle_\omega = \langle\langle Y_{p\bar{\sigma}} | Y_{p\bar{\sigma}}^\dagger \rangle\rangle_\omega$ и $\langle\langle a_{p\sigma} | a_{p\sigma}^\dagger \rangle\rangle_\omega = \langle\langle b_{p\bar{\sigma}} | b_{p\bar{\sigma}}^\dagger \rangle\rangle_\omega$.

При записи аномальных функций Грина введем дополнительные обозначения

$$Q_{p\sigma}(\omega) = \frac{1}{\alpha_{\bar{\sigma}}} d_{3\sigma}(p, \omega)d_{3\bar{\sigma}}(p, -\omega) + \alpha_{\bar{\sigma}} f_3(p, \omega)f_3(p, -\omega),$$

$$R_{p\sigma}(\omega) = \frac{1}{\alpha_{\sigma}^2 \alpha_{\bar{\sigma}}} ((\omega + \xi_p)^2 - \Gamma_p^2) ((\omega - \xi_p)^2 - \Gamma_p^2).$$

Тогда аномальная функция Грина записывается как

$$\langle\langle Y_{-p\bar{\sigma}} | X_{p\sigma} \rangle\rangle_{\omega} = -\eta_{\bar{\sigma}} \alpha_{\sigma} \frac{\Delta_p Q_{p\bar{\sigma}}(\omega) + \Delta_p^3 R_{p\bar{\sigma}}(\omega)}{D_8(p, \omega)}. \quad (12)$$

Отметим, что числитель выражения (12) содержит только четные степени по ω .

Дисперсионное уравнение в фазе сосуществования СП и АФМ определяется условием наличия полюсов у функций Грина и имеет вид

$$\begin{aligned} 0 = D_8(p, \omega) = & d_4(p, \omega) d_4(p, -\omega) + \left(\frac{\Delta_p}{\alpha_{\bar{\sigma}}} \right)^2 d_{3\sigma}(p, \omega) d_{3\sigma}(p, -\omega) + \\ & + \left(\frac{\Delta_p}{\alpha_{\sigma}} \right)^2 d_{3\bar{\sigma}}(p, \omega) d_{3\bar{\sigma}}(p, -\omega) + 2\Delta_p^2 f_3(p, \omega) f_3(p, -\omega) + \\ & + \left(\frac{\Delta_p^2}{\alpha_{\sigma} \alpha_{\bar{\sigma}}} \right)^2 ((\omega - \xi_p)^2 - \Gamma_p^2) ((\omega + \xi_p)^2 - \Gamma_p^2). \end{aligned} \quad (13)$$

Средние $\langle X_f^{\sigma\sigma} \rangle$, входящие в определение концентрации локализованных квазичастиц n_L и намагнитченности R , можно связать с помощью спектральной теоремы с функциями Грина (11) (для различных направлений проекции спинового момента σ). Поэтому такие средние определяются уравнениями самосогласования

$$\langle X_f^{\sigma\sigma} \rangle = \frac{1}{N} \sum_{k,j} \alpha_{\sigma} \frac{S_{k\sigma}(-E_{jk}) f(-E_{jk}/T) - S_{k\sigma}(E_{jk}) f(E_{jk}/T)}{2E_{jk} \prod_{i \neq j} (E_{jk}^2 - E_{ik}^2)},$$

где $f(x) = 1/(e^x + 1)$ – функция распределения Ферми–Дирака, индексы j, i пробегают значения от 1 до 4, что соответствует четырем положительно определенным ветвям энергетического спектра E_{jk} , найденным из дисперсионного уравнения (13). Таким образом величины n_L и R определяются как

$$n_L = \langle X_f^{\uparrow\uparrow} \rangle + \langle X_f^{\downarrow\downarrow} \rangle, \quad R = \frac{\langle X_f^{\uparrow\uparrow} \rangle - \langle X_f^{\downarrow\downarrow} \rangle}{2}.$$

Концентрация коллективизированных квазичастиц задается формулой

$$n_c = \frac{1}{N} \sum_{k,\sigma} \langle a_{k\sigma}^{\dagger} a_{k\sigma} \rangle, \quad (14)$$

где среднее выражается через определение функции Грина в (11):

$$\langle a_{p\sigma}^{\dagger} a_{p\sigma} \rangle = \sum_j \frac{C_{p\sigma}(E_{jp}) f(E_{jp}/T) - C_{p\sigma}(-E_{jp}) f(-E_{jp}/T)}{2E_{jp} \prod_{i \neq j} (E_{jp}^2 - E_{ip}^2)}.$$

Записав выражение для полного числа электронов в системе,

$$N_e = \sum_{f,\sigma} (\langle X_f^{\sigma\sigma} \rangle + \langle a_{f\sigma}^{\dagger} a_{f\sigma} \rangle) + \sum_{g,\sigma} (\langle Y_g^{\sigma\sigma} \rangle + \langle b_{g\sigma}^{\dagger} b_{g\sigma} \rangle),$$

получим, что уравнение самосогласования для нахождения химического потенциала можно выразить через узельную концентрацию локализованных и коллективизированных электронов: $n_e = N_e/2N = n_L + n_c$.

Подставим $\Delta_p = 2\Delta_0^d \sin(p_x b/2) \sin(p_y b/2)$ в интегральное уравнение самосогласования, полученное из определения (7), с помощью спектральной теоремы для аномальных функций Грина (12) получим алгебраическое уравнение для амплитуды аномальных спариваний Δ_0^d :

$$1 = 2J \frac{1}{N} \sum_k \left[\sin\left(\frac{k_x b}{2}\right) \sin\left(\frac{k_y b}{2}\right) \right]^2 \sum_j \frac{-Q_k(E_{jk}) \operatorname{th}(E_{jk}/2T)}{2E_{jk} \prod_{i \neq j} (E_{jk}^2 - E_{ik}^2)} + \\ + 8J(\Delta_0^d)^2 \frac{1}{N} \sum_k \left[\sin\left(\frac{k_x b}{2}\right) \sin\left(\frac{k_y b}{2}\right) \right]^4 \sum_j \frac{-R_k(E_{jk}) \operatorname{th}(E_{jk}/2T)}{2E_{jk} \prod_{i \neq j} (E_{jk}^2 - E_{ik}^2)},$$

где

$$Q_p(\omega) = \sum_{\sigma} \alpha_{\sigma} Q_{p\bar{\sigma}}(\omega), \quad R_p(\omega) = \sum_{\sigma} \alpha_{\sigma} R_{p\bar{\sigma}}(\omega).$$

5. КВАЗИЧАСТИЧНЫЕ ЗОНЫ В ФАЗЕ СОСУЩЕСТВОВАНИЯ СП И АФМ

Определитель $d_4(p, \omega)$ не зависит от направления проекции спинового момента электрона σ . Это свидетельствует об эквивалентности спектров фермиевских возбуждений в антиферромагнитной фазе для квазичастиц с направлением спинового момента $\sigma = \uparrow$ и $\sigma = \downarrow$. Нетрудно видеть, что определитель $D_8(p, \omega)$ также не зависит от направления проекции спинового момента.

Если в полном дисперсионном уравнении (13) положить $\Delta_p = 0$, то возникающее при этом дисперсионное уравнение соответствует случаю нормальной фазы (уравнение $d_4(p, -\omega) = 0$). В сверхпроводящей фазе дисперсионное уравнение обладает четырьмя дополнительными решениями. Их возникновение объясняется на рис. 1, где показан спектр квазичастичных зон в ПМА по главному направлению зоны Бриллюэна для концентраций $n_e = 1.4$ (а, в) и $n_e = 1.2$ (б, г). Энергетические параметры модели $J = 0.2$, $V_0 = 0.6$, $E_0 = -1.5$ нормированы на величину $|t_1|$. Параметры Λ_{σ} , C_{σ} , L_p считаются равными нулю. Для простоты сравнения выбраны такие параметры модели, при которых система находится в нормальной фазе.

Решения уравнения $d_4(p, -\omega) = 0$ при $n_e = 1.4$ для различных направлений проекций квазичастичного спинового момента представлены на рис. 1а. При такой концентрации самосогласованный расчет приводит к только тривиальному решению для намагниченности $R = 0$ и значениям $n_L = 0.907$, $\mu = -1.554$. Штрихпунктирной линией на рис. 1 показан уровень химического потенциала μ . Изменение концентрации может индуцировать переход в антиферромагнитную фазу. Например, при концентрации $n_e = 1.2$ в системе реализуется дальний антиферромагнитный порядок (см. рис. 1б) с параметрами $R = 0.364$, $n_L = 0.746$, $\mu = -1.706$. Нижние две стрелки на правой и левой частях рис. 1б указывают на то, что квазичастичные зоны раздвигаются; это вызвано обменным полем спиновых моментов локализованных электронов. Раздвижка ветвей, соответствующих состояниям зонных электронов (верхняя пара стрелок), обусловлена гибридизационными процессами с антиферромагнитно упорядоченными локализованными электронами. Вид квазичастичных

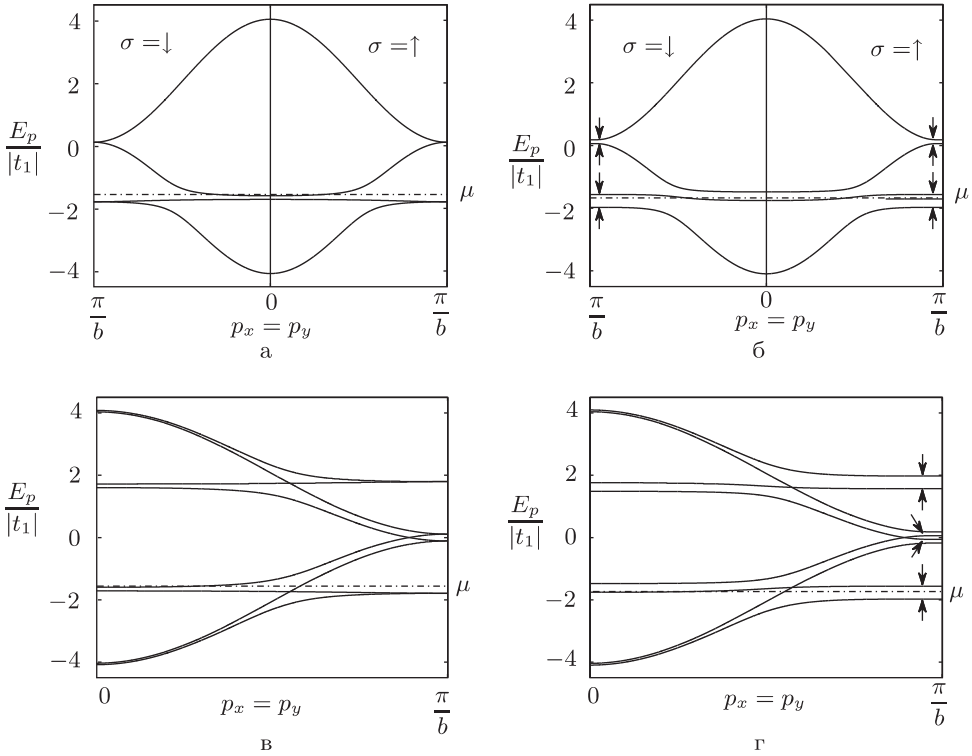


Рис. 1. Квазичастичный спектр ПМА, найденный из уравнения $d_4(p, -\omega) = 0$ (см. (10) и графики а, б) и из уравнения (13) (графики в, г) для $J = 0.2$, $V_0 = 0.6$, $E_0 = -1.5$. На графиках приведены спектры для нормальной парамагнитной фазы ($\Delta_0^d = 0$, $R = 0$) при $n_e = 1.4$, $\mu = -1.554$, $n_L = 0.907$ (а, в) и нормальной антиферромагнитной фазы ($\Delta_0^d = 0$, $R = 0.364$) при $n_e = 1.2$, $\mu = -1.706$, $n_L = 0.746$ (б, г).

зон, представленный на рис. 1а, 1б, характерен для двухподрешеточной ПМА (см., например, статью [39]).

Решения уравнения (13) для тех же параметров, что и на рис. 1а, 1б, показаны на рис. 1в, 1г соответственно. Появление дополнительных ветвей связано с тем, что аномальные функции Грина построены на операторах с различным направлением квазичастичного спинового момента. В этом случае общий энергетический спектр в задаче о сосуществовании СП и АФМ включает в себя четыре энергетические ветви тяжелофермионного антиферромагнетика для квазичастиц с $\sigma = \uparrow$ и четыре ветви в случае $\sigma = \downarrow$, взятые с обратным знаком.

В общем случае аналитический вид решений дисперсионного уравнения (13) является достаточно громоздким и здесь не приводится. В практическом отношении важно иметь хоть и приближенные, но аналитические выражения для квазичастичного спектра, лежащего в окрестности энергии локализованных состояний E_0 . Именно через них определяется дисперсионная зависимость зоны тяжелых фермионов.

Получение приближенного выражения связано с заменой $\omega - \xi_p \rightarrow E_J - \mu - \xi_p$ в уравнении (13). Здесь использовано обозначение $E_J = E_0 - Jn_L$. Описанное приближение справедливо при малом расщеплении зоны тяжелых фермионов в антиферромагнитной фазе, когда $4JR \ll W$ [40], где W – ширина зоны коллективизированных электронов. Для простоты мы ограничимся рассмотрением только внутривузельной гибридации ($W_p = 0$), а также приближением ближайших соседей относительно перескоков электронов. В дальнейшем отсчет энергии ведется от уровня ε_0 , т. е. считается, что $\varepsilon_0 = 0$. В этом случае

$$[E_p^{\text{HF}}]^2 = ((1 - \alpha\gamma_p)E_J)^2 + (\alpha^2 - R^2)\Gamma_p^2\gamma_p^2 + (\gamma_p E_J + 2J)^2 R^2 + \frac{\alpha^2 + R^2}{(\alpha^2 - R^2)^2} \Delta_p^2 + 2 \operatorname{sgn}(\gamma_p) \nu_p^2, \quad \gamma_p = \frac{V_p^2}{\Gamma_p^2 - E_J^2}. \quad (15)$$

Индекс HF отражает тот факт, что выражение (15) описывает только спектр зоны тяжелых фермионов. Функция $\operatorname{sgn}(\cdot)$ определяется стандартно: $\operatorname{sgn}(\gamma_p) = \pm 1$, если $\gamma_p \gtrless 0$. Также введено обозначение

$$\nu_p^4 = \left((\alpha^2 - R^2)((1 - \alpha\gamma_p)E_J)^2 + \frac{\Delta_p^2 R^2}{\alpha^2 - R^2} \right) \Gamma_p^2 \gamma_p^2 + \left(((1 - \alpha\gamma_p)E_J)(\gamma_p E_J + 2J) + \frac{\alpha \Delta_p^2}{(\alpha^2 - R^2)^2} \right)^2 R^2.$$

Область, включающая зону тяжелых фермионов на рис. 1а, 1б, в увеличенном масштабе представлена на рис. 2а, 2б соответственно. На левой половине каждого из графиков на рис. 2 сплошными линиями показаны точные решения уравнения (13). На правой половине штриховая линия, отмеченная как E_p^{HF} , отвечает решению, рассчитанному по формуле (15). Аналитическое выражение для спектра квазичастичных зон, выделенных цифрами 1, 2, можно получить из соотношения (15), если поменять знак перед слагаемым $2 \operatorname{sgn}(\gamma_p) \nu_p^2$. Видно, что приближенное аналитическое решение хорошо согласуется с точным, рассчитанным численно. Штриховая линия, обозначенная символом \star , не соответствует реальной зоне и приведена для наглядности.

Спектр квазичастичных зон при концентрации $n_e = 1.35$, отвечающей фазе существования СП и АФМ, представлен на рис. 2в. Параметры такой фазы суть $R = 0.411$, $\Delta_0^d = 0.00514$, $n_L = 0.871$, $\mu = -1.595$. Образование сверхпроводящей щели в спектре элементарных возбуждений при таких параметрах показано на рис. 2г. Здесь энергия $\mathcal{E}_p^{\text{HF}}$ отсчитывается от энергии Ферми, p_F – импульс Ферми при нулевом СП. Значение Δ_{p_F} , которому на графике отвечает пунктирная линия, определяет амплитуду аномальных спариваний на поверхности Ферми. Видно, что реальный размер сверхпроводящей щели в спектре существенно превышает значение Δ_{p_F} . Это связано с тем, что спектр тяжелых фермионов имеет более сложный вид по сравнению с энергетическим спектром в теории Бардина–Купера–Шриффера. Поэтому СП определяется не только амплитудой сверхпроводящих спариваний Δ_p , но и зависит от других параметров модели. Чтобы найти величину СП, которая более точно чем Δ_{p_F} соответствует размеру сверхпроводящей щели, приведем приближенное выражение для энергетического спектра тяжелых фермионов:

$$\mathcal{E}_p^{\text{HF}} \approx \sqrt{(\mathcal{E}_p^{\text{AFM}})^2 + \zeta_p \Delta_p^2},$$

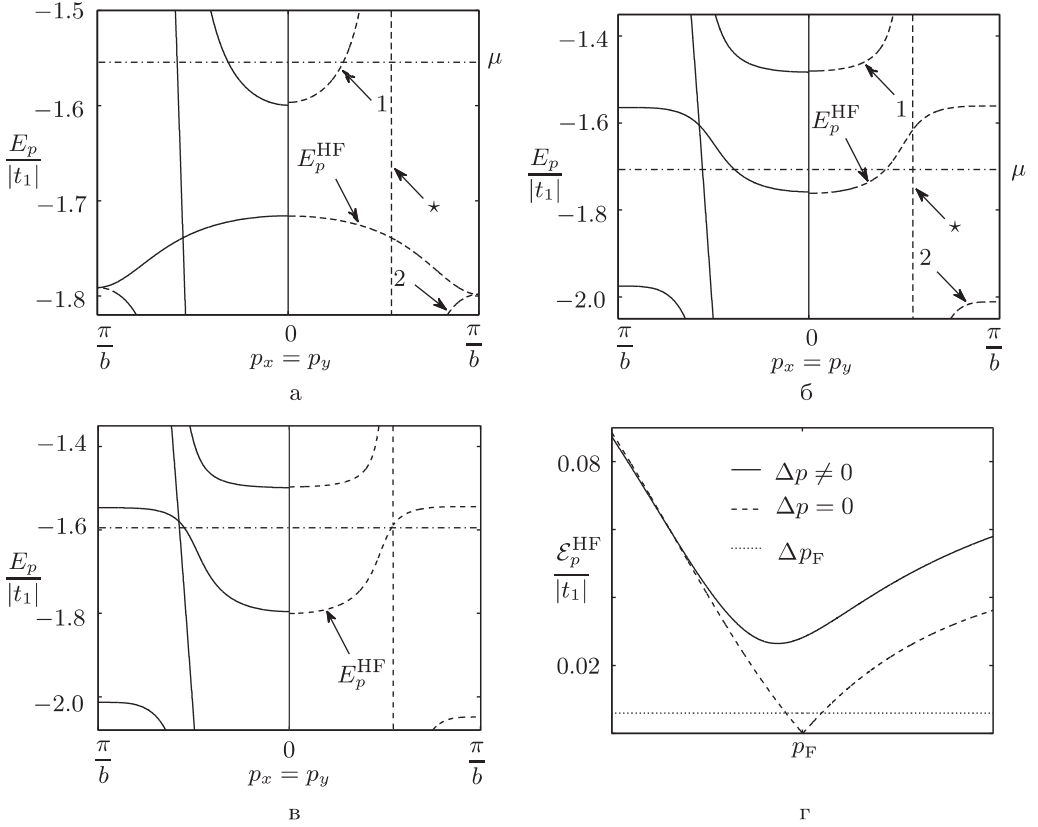


Рис. 2. Спектр зоны тяжелых фермионов E_p^{HF} ПМА: нормальная парамагнитная фаза $n_e = 1.4$ (а), нормальная антиферромагнитная фаза $n_e = 1.2$ (б); параметры на верхних графиках те же, что и на рис. 1а, 1б соответственно. Также приведены фаза сосуществования СП и АФМ $n_e = 1.35$, $R = 0.411$, $\Delta_0^d = 0.00514$, $n_L = 0.871$, $\mu = -1.595$ (в) и спектр элементарных возбуждений в фазе сосуществования (г).

где

$$\zeta_p = \frac{\alpha^2 + R^2}{(\alpha^2 - R^2)^2} - \frac{R^2}{(\alpha^2 - R^2)|(1 - \alpha\gamma_p)E_J - \mu|\lambda_p} \times$$

$$\times \left(\Gamma_p^2 \gamma_p^2 + \frac{2\alpha}{\alpha^2 - R^2} ((1 - \alpha\gamma_p)E_J - \mu)(\gamma_p E_J + 2J) \right),$$

$$\mathcal{E}_p^{\text{AFM}} = |(1 - \alpha\gamma_p)E_J - \mu| - \lambda_p, \quad \lambda_p = \sqrt{(\alpha^2 - R^2)\Gamma_p^2 \gamma_p^2 + (\gamma_p E_J + 2J)^2 R^2}.$$

Нетрудно показать, что истинный СПП имеет вид $\Psi_p = \sqrt{\zeta_p} \Delta_p$. Однако переход из сверхпроводящей в нормальную фазу по-прежнему определяется условием $\Delta_p = 0$. В этом случае величина Δ_p может определяться как СПП, но она не соответствует реальному размеру щели в спектре.

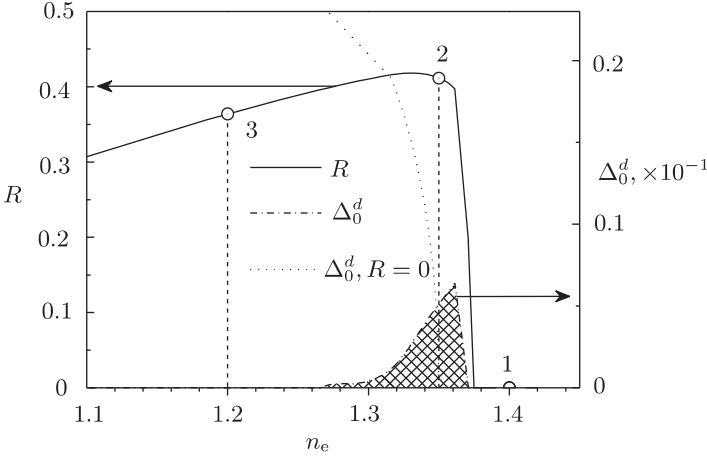


Рис. 3. Зависимость намагниченности подрешетки R и амплитуды сверхпроводящего параметра порядка Δ_0^d от полной концентрации n_e носителей в системе. Параметры модели выбраны как $J = 0.2$, $V_0 = 0.6$, $E_0 = -1.5$.

Как отмечалось выше, приближенное выражение (15) отвечает спектру зоны тяжелых фермионов, эффективная масса которых превышает массу блоховских электронов в решетке. Существенно, что для реализации дальнего антиферромагнитного порядка и СП химический потенциал должен лежать в слабодисперсной зоне тяжелых фермионов. Поэтому антиферромагнитные и сверхпроводящие характеристики системы определяются именно тяжелыми фермионами. Для оценки эффективной массы новых квазичастиц разложим спектр (15) в окрестности точки $(p_x, p_y) = (0, 0)$. Тогда масса тяжелых фермионов, энергетические зоны E_p^{HF} которых представлены на рис. 2а–2в, задается вблизи дна зоны следующим выражением:

$$\frac{m_{\text{HF}}}{m_0} = \frac{\Gamma_0^2 - E_J^2}{|\Gamma_0| \gamma_0} \left(2\alpha |E_J| - \frac{(\alpha^2 - R^2) \Gamma_0^2 \gamma_0 + (\alpha^2 + R^2) E_J^2 \gamma_0 - J_0 R^2 |E_J|}{\lambda_0} \right)^{-1}, \quad (16)$$

где $m_0 = \hbar^2 / |t_1| b^2$ – масса блоховского электрона на квадратной решетке. Величины Γ_0 , γ_0 получаются из известных Γ_p , γ_p при $p_x = 0$, $p_y = 0$. Подобная методика, но в рамках слейв-бозонного представления была применена в работе [40] для оценки массы тяжелых фермионов антиферромагнитных интерметаллидов при учете скоса антиферромагнитных подрешеток.

6. СОСУЩЕСТВОВАНИЕ СП И АФМ В ТФ-СИСТЕМАХ

Изменение типа основного состояния ПМА (при нулевой температуре) в зависимости от полной концентрации n_e носителей в системе представлено на рис. 3 при фиксированных параметрах $J = 0.2$, $V_0 = 0.6$, $E_0 = -1.5$. Сплошной линией показана намагниченность подрешетки R (левая шкала), штрихпунктирной – амплитуда Δ_0^d аномальных спариваний, соответствующих d -типу симметрии (правая шкала). Результаты расчета Δ_0^d при нулевой намагниченности приведены для сравнения и изображены пунктирной линией. Цифрами 1, 2, 3 на графике обозначены

состояния, энергетическая структура которых представлена на рис. 2а, 2б, 2в соответственно. Видно, что для зависимости намагниченности и амплитуды СПП от концентрации существенным является положение химического потенциала относительно зоны тяжелых фермионов.

Качественно картина заключается в следующем. При увеличении числа электронов за счет заполнения локализованного уровня в системе индуцируется дальний антиферромагнитный порядок. Однако последующее увеличение концентрации приводит к резкому подавлению АФМ. Это связано с тем, что уровень становится почти заполненным и добавляемые новые электроны формируют коллективизированную подсистему. Усиление гибридационных процессов в таком случае является фактором, который отвечает за разрушение АФМ. Как показано на рис. 3, вблизи перехода из антиферромагнитной фазы в парамагнитную в системе реализуется куперовская неустойчивость. Это приводит к возникновению фазы сосуществования СП и АФМ. Заштрихованная область на рис. 3 определяет значения концентраций, при которых куперовская неустойчивость и дальний антиферромагнитный порядок сосуществуют.

Отметим, что в настоящем рассмотрении фазы ограничены не величиной температуры, а значениями концентраций. Наличие дальнего антиферромагнитного порядка в подсистеме локализованных хаббардовских фермионов может индуцировать сверхпроводящие спаривания. Это следует из того, что увеличение или уменьшение намагниченности приводит к аналогичному поведению амплитуды Δ_0^d . К тому же куперовская неустойчивость становится характерной для значений концентрации, при которых она не проявляется, если не учитывать существования в системе антиферромагнитного упорядочения. С другой стороны, интенсивность аномальных спариваний при наличии АФМ существенно уменьшается.

Увеличение энергии локализованных состояний E_0 при фиксированной концентрации $n_e = 1.2$ и тех же параметрах J и V_0 , что и на рис. 3, также приводит к разрушению антиферромагнитного упорядочения (см. рис. 4а). В данном случае это связано с тем, что, по мере того как локализованный уровень движется вверх по энергетической зоне, уменьшается заселенность локализованных состояний. При выбранных параметрах ПМА сверхпроводящее и антиферромагнитное упорядочения являются конкурирующими явлениями. На рис. 4а этот факт находит свое отражение в том, что максимум СПП достигается в точке падения намагниченности до нуля.

Хотя фаза сосуществования СП и АФМ реализуется, амплитуда СПП существенно ниже при конкуренции с дальним антиферромагнитным порядком. Описанная зависимость параметров порядка от энергии E_0 связана с экспериментальными исследованиями систем с тяжелыми фермионами. Например, упомянутое выше соединение CeRhIn_5 при атмосферном давлении является антиферромагнетиком с температурой Нееля $T_N = 3.8 \text{ K}$ [41]. Под действием давления температура Нееля образца сначала слабо уменьшается, а затем, при критическом давлении $P_c = 1.75 \text{ ГПа}$, дальний антиферромагнитный порядок полностью разрушается [15]. Предположительно это происходит путем фазового перехода первого рода, который при нулевой температуре является квантовым фазовым переходом. В области давлений, меньших чем критическое P_c , реализуется фаза сосуществования СП и АФМ [16]. При давлениях выше критического в экспериментах обнаружена чистая сверхпроводящая фаза.

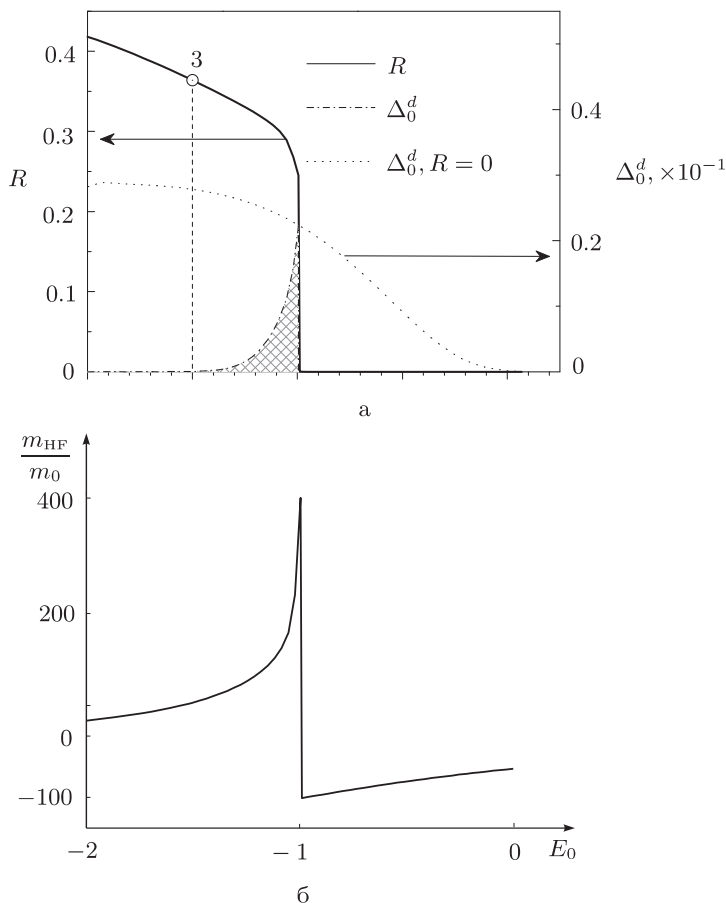


Рис. 4. Зависимость намагниченности подрешетки R и амплитуды сверхпроводящего параметра порядка Δ_0^d от энергии локализованных состояний E_0 (а). Зависимость эффективной массы тяжелых квазичастиц, нормированной на массу блоховского электрона, от энергии E_0 (б).

Описанным исследованиям качественно соответствует картина, представленная на рис. 4а. При этом роль основного параметра, который изменяется под воздействием внешнего гидростатического давления, играет энергия локализованных электронов E_0 . Механизм увеличения энергии E_0 при росте давления достаточно прост. Известно, что церий входит в состав соединения CeRhIn_5 как ион Ce^{3+} , поэтому область вокруг иона обладает большим суммарным положительным зарядом. В силу условия электронейтральности ближайшее окружение обладает эффективно отрицательным зарядом. Сближение под действием давления иона церия с ближайшим окружением вызывает возрастание энергии 4f-электрона, находящегося на нем, за счет кулоновского взаимодействия. Отметим также, что возрастание давления может приводить, вообще говоря, к изменениям амплитуды перескока электронов между узлами t_{ml} и параметра гибридизации V_{ml} [22]. В нашем рассмотрении пред-

полагается, что изменение этих параметров при изменении давления вносит меньший вклад в формирование определенного типа основного состояния.

Важной характеристикой ТФ-систем является эффективная масса локализованных квазичастиц. Отношение эффективной массы локализованных квазичастиц в ПМА к массе коллективизированных электронов в приближении параболической зоны можно оценить по формуле (16). Зависимость этой величины от энергии локализованного уровня представлена на рис. 4б. При разрушении антиферромагнитного порядка масса (16) становится отрицательной. В таком случае говорят о переходе к дырочному типу тяжелых квазичастиц [40]. В каждой точке графика значения параметров порядка пересчитывались в соответствии с диаграммой основного состояния, представленной на рис. 4а. Видно, что по мере разрушения антиферромагнитного порядка, при увеличении E_0 , эффективная масса растет. При этом в критической точке ($E_0 \approx -1$), выше которой намагниченность подрешетки равна нулю, эффективная масса демонстрирует поведение, похожее на расходимость. При переходе через критическую точку в парамагнитную область значение эффективной массы резко падает и в дальнейшем уменьшается по модулю.

На основе серии экспериментов, проведенных для соединения CeRhIn_5 , было показано увеличение массы электронов под действием внешнего давления [42], [43]. Так, при атмосферном давлении было зафиксировано, что циклотронная масса электронов превышает в 5.5 раза массу свободного электрона [42]. При критическом давлении это отношение могло достигать значения $m_c/m_0 = 100$. Отметим, что в приближении параболической зоны эффективная и циклотронная массы электронов эквивалентны. Значения эффективной массы на рис. 4б, хоть и превышают значения циклотронной массы, качественно правильно отражают экспериментальную зависимость массы от давления. Отметим, что увеличение эффективной массы фермионов в описываемых системах связано с переходом из антиферромагнитной фазы в парамагнитную и с уменьшением ширины зоны тяжелых фермионов.

7. ЗАКЛЮЧЕНИЕ

Проведенное исследование показало, что наличие обменной связи в подсистеме локализованных фермионов и гибридизационного взаимодействия между локализованными и коллективизированными электронами является достаточным для реализации антиферромагнитной фазы, сверхпроводящей фазы, а также фазы сосуществования СП и АФМ. Роль контрольного параметра, определяющего фазовый переход в упорядоченное состояние при заданной суммарной концентрации электронов, играет положение затравочного энергетического уровня локализованных электронов относительно дна зоны проводимости. Предположение об изменении этого параметра при возрастании внешнего давления лежит в основе интерпретации экспериментально наблюдаемой модификации структуры основного состояния тяжелофермионного соединения CeRhIn_5 в результате квантового фазового перехода.

На диаграмме состояний системы имеется значение контрольного параметра, в окрестности которого реализуется фаза сосуществования СП и АФМ. Приближение к критическому значению контрольного параметра со стороны низких температур сопровождается быстрым разрушением дальнего антиферромагнитного упорядочения с одновременным возрастанием СПП. Наличие дальнего антиферромагнитного

упорядочения проявляется как в сильном подавлении амплитуды аномальных куперовских средних, так и в модификации фермиевского энергетического спектра. В результате величина сверхпроводящей щели определяется не только амплитудой аномальных средних, но и значением намагниченности антиферромагнитной подрешетки. Это означает, что ренормировка сверхпроводящей щели в фазе сосуществования СП и АФМ идет по двум каналам: первый из них связан с дальним магнитным порядком, а второй – с модификацией спектра фермиевских возбуждений.

Благодарности. Работа выполнена при поддержке Программы Президиума РАН “Квантовые мезоскопические и неупорядоченные структуры”, РФФИ (гранты № 10-02-00251, 11-02-98007-РФФИ-Сибирь) и Министерства образования и науки РФ (соглашение 14.132.21.1410).

Список литературы

- [1] P. W. Anderson, *Science*, **235**:4793 (1987), 1196–1198.
- [2] N. M. Plakida, *High-Temperature Cuprate Superconductors. Experiment, Theory, and Applications*, Springer Series in Solid-State Sciences, **166**, Springer, Heidelberg, Berlin, 2010.
- [3] Н. Е. Алексеевский, Д. И. Хомский, *УФН*, **147**:4 (1985), 767–779.
- [4] G. R. Stewart, *Rev. Mod. Phys.*, **56**:4 (1987), 755–787.
- [5] D. M. Newns, H. Read, *Adv. Phys.*, **36**:6 (1987), 799–849.
- [6] В. В. Вальков, С. Г. Овчинников, *Квазичастицы в сильно коррелированных системах*, Изд-во СО РАН, Новосибирск, 2001.
- [7] K. Miyake, S. Schmitt-Rink, C. M. Varma, *Phys. Rev. B*, **34**:9 (1986), 6554–6556.
- [8] Р. О. Зайцев, В. А. Иванов, *ФТТ*, **29** (1987), 2554–2556.
- [9] Ю. А. Изюмов, *УФН*, **161**:11 (1991), 1–46.
- [10] С. В. Вонсовский, М. С. Свирский, *ЖЭТФ*, **46**:5 (1964), 1619–1631.
- [11] А. И. Буздин, Л. Н. Булаевский, *УФН*, **149**:1 (1986), 45–67.
- [12] S. M. Hayden, L. Taillefer, C. Vettier, J. Flouquet, *Phys. Rev. B*, **46**:13 (1992), 8675–8678.
- [13] R. Caspary, P. Hellmann, M. Keller, G. Sparn, C. Wassiew, R. Köhler, C. Geibel, C. Schank, F. Steglich, N. E. Phillips, *Phys. Rev. Lett.*, **71**:13 (1993), 2146–2149.
- [14] G. Zwicknagl, A. N. Yaresko, P. Fulde, *Phys. Rev. B*, **65**:8 (2002), 081103, 4 pp.
- [15] T. Park, J. D. Thompson, *New J. Phys.*, **11** (2009), 055062, 17 pp., arXiv:0908.2404.
- [16] T. Mito, S. Kawasaki, Y. Kawasaki, G.-Q. Zheng, Y. Kitaoka, D. Aoki, Y. Haga, Y. Ōnuki, *Phys. Rev. Lett.*, **90**:7 (2003), 077004, 4 pp., arXiv:cond-mat/0211576.
- [17] Ю. А. Изюмов, Н. М. Плакида, Ю. Н. Скрябин, *УФН*, **159**:4 (1989), 621–663.
- [18] H. Mukuda, Y. Yamaguchi, S. Shimizu, Y. Kitaoka, P. Shirage, A. Iyo, *J. Phys. Soc. Jpn.*, **77**:12 (2008), 124706, 7 pp., arXiv:0810.0880.
- [19] S. Shimizu, S. Tabata, H. Mukuda, Y. Kitaoka, P. M. Shirage, H. Kito, A. Iyo, *Phys. Soc. Jpn.*, **80** (2011), 043706, 4 pp., arXiv:1102.5282.
- [20] A. N. Lavrov, L. P. Kozeeva, M. R. Trunin, V. N. Zverev, *Phys. Rev. B*, **79**:21 (2009), 214523, 6 pp.
- [21] М. Мейшл, Э. Фишер (ред.), *Сверхпроводимость в тройных соединениях*, Мир, М., 1985.
- [22] P. D. Sacramento, *J. Phys.*, **15**:36 (2003), 6285–6300.
- [23] J. V. Alvarez, *Phys. Rev. Lett.*, **98**:12 (2007), 126406.
- [24] C. M. Varma, W. Webber, L. J. Randall, *Phys. Rev. B*, **33**:2 (1986), 1015–1019.
- [25] H. Tsunetsugu, M. Sigrist, K. Ueda, *Rev. Mod. Phys.*, **69**:3 (1997), 809–863.
- [26] В. А. Москаленко, *ТМФ*, **116**:3 (1998), 456–473.

- [27] В. А. Москаленко, *ТМФ*, **110**:2 (1997), 308–322.
- [28] В. В. Вальков, Д. М. Дзедзисашвили, *ТМФ*, **157**:2 (2008), 235–249.
- [29] В. В. Вальков, А. О. Злотников, *Изв. РАН. Сер. физ.*, **75**:5 (2011), 682–684.
- [30] Н. Н. Боголюбов, *Собрание научных трудов в двенадцати томах. Статистическая механика*, т. 6: *Равновесная статистическая механика*. 1945–1986, Наука, М., 2006.
- [31] Д. Н. Зубарев, *УФН*, **71**:1 (1960), 71–116.
- [32] Н. М. Плакида, *ТМФ*, **5**:1 (1970), 147–153.
- [33] Н. М. Плакида, *ТМФ*, **154**:1 (2008), 129–146.
- [34] R. Zwanzig, *Phys. Rev.*, **124**:4 (1961), 983–992.
- [35] H. Mori, *Prog. Theor. Phys.*, **33**:3 (1965), 423–455.
- [36] Р. О. Зайцев, *ЖЭТФ*, **68**:1 (1975), 207–215.
- [37] Р. О. Зайцев, *ЖЭТФ*, **70**:3 (1976), 1100–1111.
- [38] T. Park, E. D. Bauer, J. D. Thompson, *Phys. Rev. Lett.*, **101**:17 (2008), 177002, arXiv: 0806.3308.
- [39] В. В. Вальков, Д. М. Дзедзисашвили, *ТМФ*, **162**:1 (2010), 125–149.
- [40] В. В. Вальков, Д. М. Дзедзисашвили, *ЖЭТФ*, **137**:2 (2010), 341–360.
- [41] H. Hegger, C. Petrovich, E. G. Moshopoulou, M. F. Hundley, J. L. Sarrao, Z. Fisk, J. D. Thompson, *Phys. Rev. Lett.*, **84**:21 (2000), 4986–4989.
- [42] H. Shishido, R. Settai, H. Harima, Y. Ōnuki, *J. Phys. Soc. Jap.*, **74**:4 (2005), 1103–1106.
- [43] G. Knebel, D. Aoki, J.-P. Brison, J. Flouquet, *J. Phys. Soc. Jap.*, **77**:11 (2008), 114704, 14 pp., arXiv:0808.3687.

Поступила в редакцию 9.06.2012